

УДК 551.465

## ВОЛНОВЫЕ ПОГРАНИЧНЫЕ СЛОИ В СТРАТИФИЦИРОВАННОЙ ЖИДКОСТИ У ПОВЕРХНОСТИ И ДНА

© 2017 г. Г. М. Резник

Институт океанологии им. П.П. Ширшова РАН, Москва, Россия

e-mail: greznikmd@yahoo.com

Поступила в редакцию 05.08.2016 г.

В работе исследуются т.н. волновые пограничные слои, возникающие в ограниченной стратифицированной жидкости на больших временах. Каждый такой слой представляет собой узкую область в окрестности поверхности и/или дна, характеризующуюся резкими растущими со временем вертикальными градиентами плавучести и горизонтальной скорости. Слои возникают как результат свободной линейной волновой эволюции начальных полей, если начальная плавучесть зависит на границах от горизонтальных координат. Построено асимптотическое решение, описывающее динамику погранслоя на больших временах, и показано, что это решение неплохо описывает точное решение уже на сравнительно небольших временах.

DOI: 10.7868/S0030157417020174

### 1. ВВЕДЕНИЕ

Волновые пограничные слои в геофизических задачах до сих пор рассматривались при описании эволюции волн Россби в бассейнах, ограниченных боковыми границами [1–3, 7–9]. В этих задачах пограничный слой возникает около западной границы и представляет собой узкую область, ширина которой стремится с ростом времени к нулю, а поперечные градиенты некоторых характеристик — к бесконечности. В настоящей работе мы показываем, что похожие пограничные слои существуют в невращающейся стратифицированной жидкости, связаны они с внутренними волнами и сосредоточены у дна и/или поверхности жидкого слоя. В § 2 дается постановка задачи, в § 3 получается ее точное решение в виде разложений по вертикальным волновым модам. В § 4 находится асимптотическое решение задачи на больших временах (в “духе” [2, 3]), а в § 5 это решение сравнивается с точным решением, полученным в § 2. Параграф 6 содержит обсуждение результатов. Вывод некоторых формул дается в Приложении.

### 2. ПОСТАНОВКА ЗАДАЧИ

Рассмотрим слой непрерывно стратифицированной жидкости постоянной глубины  $H$ , заключенный между двумя твердыми крышками  $z = 0$ ,  $-H$  (рис. 1). В линейном приближении система описывается уравнениями

$$\mathbf{u}_t + \mathbf{e}_z b = -\nabla p, \quad b_t - N^2 w = 0, \quad \nabla \cdot \mathbf{u} = 0, \quad (1a-b)$$

с граничными условиями непротекания и начальными условиями:

$$w|_{z=0,-H} = 0; \quad (\mathbf{u}, v, b)|_{t=0} = (\mathbf{u}_I, v_I, b_I). \quad (2a, б)$$

Здесь  $\mathbf{u} = (u, v, w)$  — скорость с компонентами  $u$ ,  $v$ ,  $w$ , направленными вдоль осей  $x$ ,  $y$ ,  $z$  соответственно;  $b = g\rho/\rho_0$  — плавучесть;  $\rho/\rho_0$ ,  $p$  — отклонения плотности и давления от их гидростатических профилей, отнесенные к характерной плотности  $\rho_0$ ;  $N$  — частота плавучести;  $\mathbf{e}_x$ ,  $\mathbf{e}_y$ ,  $\mathbf{e}_z$  — орты вдоль соответствующих осей; индексом  $I$  здесь и ниже обозначаются начальные поля.

Система (1) сохраняет вертикальную компоненту завихренности:

$$\Omega^z = v_x - u_y = \Omega_I^z = v_{Ix} - u_{Iy}; \quad (3)$$

и, в силу (1б), (2), плавучесть на границах  $z = 0$ ,  $-H$ :

$$b|_{z=0,-H} = b_I|_{z=0,-H}. \quad (4)$$

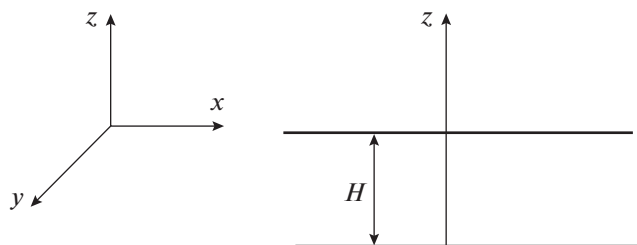


Рис. 1. Схематическое изображение стратифицированного слоя.

Поведение решения для  $u, v, b$  на больших временах  $t$  существенно зависит от структуры полей  $b_I|_{z=0,-H}$ . Вычислим, например, средние по времени поля  $\bar{u}, \bar{v}, \bar{w}, \bar{p}, \bar{b}$ , где

$$\bar{a} = \lim_{T_0 \rightarrow \infty} \frac{1}{T_0} \int_0^{T_0} a dt. \quad (5)$$

Из (1), (3) находим:

$$\begin{aligned} \bar{p}_x = \bar{p}_y = 0, \quad \bar{p}_z = -\bar{b}, \quad \bar{w} = 0, \\ \bar{u}_x + \bar{v}_y = 0, \quad \bar{v}_x - \bar{u}_y = v_{I_x} - u_{I_y}. \end{aligned} \quad (6a-d)$$

Очевидно, что в случае, когда

$$\nabla_2 b_I|_{z=0,-H} \neq 0, \quad \nabla_2 = \mathbf{e}_x \partial_x + \mathbf{e}_y \partial_y \quad (7a, б)$$

граничное условие (4) не согласуется с уравнениями (6a, бб), из которых следует, что  $\nabla_2 \bar{b} = 0$ . Кроме того, при условии (7) вертикальные градиенты горизонтальных скоростей растут линейно по времени в окрестностях границ, поскольку из (1a) и (4) следует, что

$$(u_z, v_z)_{z=0,-H} = t \nabla_2 (b_I)_{z=0,-H} + (u_{I_z}, v_{I_z})_{z=0,-H}. \quad (8)$$

В силу (8)  $(\bar{u}_z, \bar{v}_z)_{z=0,-H} = \infty$ , что, очевидно, не согласуется с уравнениями (6г, бд), согласно которым  $\bar{u}, \bar{v}$  единственным образом определяются начальными полями  $u_I, v_I$ . Эти особенности указывают, что при больших  $t$  в близких окрестностях границ решения для  $u, v, b$  имеют пограничную структуру, когда, например, около  $z = 0$  плавучесть  $b$  на больших временах представляется как

$$b = b(x, y, z, t), \quad (9)$$

где правая часть стремится к нулю при любом  $z < 0, t \rightarrow \infty$ , но  $b(x, y, 0) \neq 0$ .

Цель настоящей работы состоит в исследовании этой структуры.

### 3. РАЗЛОЖЕНИЯ ПО ВЕРТИКАЛЬНЫМ ВОЛНОВЫМ МОДАМ

Рассмотрим сначала задачу для вертикальной скорости  $w$  (см., например, [5]), которая сводится к уравнению

$$\Delta w_{tt} + N^2 \Delta_2 w = 0, \quad (10)$$

решаемому при условиях непротекания (2a) и начальных условиях

$$\begin{aligned} (w, w_t)_{t=0} = (w_I, \dot{w}_I), \\ w_I = - \int_{-H}^z (\partial_x u_I + \partial_y v_I) dz. \end{aligned} \quad (11a, б)$$

Здесь  $\Delta = \partial_{xx} + \partial_{yy} + \partial_{zz}, \Delta_2 = \partial_{xx} + \partial_{yy}$ ; начальное поле  $\dot{w}_I$  в (11a) выражается через  $b_I$  (см. Приложение).

Решение задачи (10), (11) хорошо известно (см., например, [5]). Скорость  $w$  записывается в виде Фурье-интеграла

$$w = \int \hat{w}(\mathbf{k}, z, t) e^{i(kx+ly)} d\mathbf{k}, \quad \mathbf{k} = (k, l); \quad (12)$$

для Фурье-амплитуды  $\hat{w}$  получаем:

$$\begin{aligned} (\hat{w}_{zz} - \kappa^2 \hat{w})_{tt} - \kappa^2 N^2 \hat{w} = 0, \\ \hat{w}|_{z=0,-H} = 0, \quad (\hat{w}, \hat{w}_t)_{t=0} = (\hat{w}_I, \hat{w}_I). \end{aligned} \quad (13a-b)$$

Шапочка здесь и ниже обозначает соответствующую Фурье-амплитуду. Решение для  $\hat{w}$  записывается в виде разложения по собственным функциям  $G_n$  задачи Штурма-Лиувилля

$$G_{zz} - \kappa^2 G = -\lambda \kappa^2 N^2 G, \quad G|_{z=0,-H} = 0; \quad (14a, б)$$

$$\hat{w} = \sum_{n=1}^{\infty} [\hat{w}_{In} \cos(\sigma_n t) + (\hat{w}_{In}/\sigma_n) \sin(\sigma_n t)] G_n(z, \kappa). \quad (15)$$

Здесь  $\lambda_n - n$ -е собственное значение задачи (14),  $\hat{w}_{In}, \hat{w}_{In}$  - коэффициенты разложения  $\hat{w}_I, \hat{w}_I$ ,

$$\begin{aligned} (\hat{w}_{In}, \hat{w}_{In}) = \frac{1}{\|G_n\|} \int_{-H}^0 (\hat{w}_I, \hat{w}_I) N^2 G_n dz, \\ \|G_n\| = \int_{-H}^0 N^2 G_n^2 dz, \end{aligned} \quad (16a, б)$$

$\sigma_n = 1/\sqrt{\lambda_n}$  - частота  $n$ -ой вертикальной моды.

Решение для плавучести удобно записать в виде:

$$\hat{c} = \sum_{n=1}^{\infty} [\hat{c}_{In} \cos(\sigma_n t) + (\hat{c}_{In}/\sigma_n) \sin(\sigma_n t)] G_n(z, \kappa), \quad (17a)$$

где  $c = b/N^2$  - нормированная плавучесть, и

$$\hat{c}_{In} = \frac{1}{\|G_n\|} \int_{-H}^0 \hat{c}_I N^2 G_n dz. \quad (17б)$$

Задача для  $c$  в безразмерной форме приводится ниже в § 4 (см. уравнения (24)).

Фурье-амплитуды  $\hat{u}, \hat{v}$  горизонтальных скоростей можно представить в виде:

$$(\hat{u}, \hat{v}) = (\hat{u}, \hat{v}) + (\hat{u}, \hat{v}), \quad (\hat{u}, \hat{v}) = i(k, l) \hat{w}_z / \kappa^2, \quad (18a, б)$$

где  $(\hat{u}, \hat{v})$  – Фурье-амплитуды стационарных компонент  $(\bar{u}, \bar{v})$ , определяемых из (6г, 6д). Дифференцируя ряд (15) по  $z$ , находим:

$$(\hat{u}, \hat{v}) = \frac{i(k, l)}{\kappa^2} \sum_{n=1}^{\infty} [\hat{w}_{ln} \cos(\sigma_n t) + (\hat{w}_{ln}/\sigma_n) \sin(\sigma_n t)] G_{nz}(z, \kappa). \quad (19)$$

В дальнейшем для простоты ограничимся случаем  $N = N_0 = \text{const}$ , когда

$$\lambda_n = \frac{1}{N_0^2} \left( 1 + \frac{n^2 \pi^2}{\kappa^2 H^2} \right), \quad \sigma_n = \frac{N_0 \kappa H}{\sqrt{\kappa^2 H^2 + n^2 \pi^2}}, \quad (20a-b)$$

$$G_n = \sqrt{\frac{2}{H}} \sin \frac{n\pi z}{H}.$$

Нетрудно проверить интегрированием по частям в (16), что в силу условий

$$(w_I, \dot{w}_I)_{z=0, -H} = 0 \quad (21)$$

коэффициенты  $\hat{w}_{ln}, \dot{\hat{w}}_{ln}$  быстро затухают с ростом  $n$ :

$$\hat{w}_{ln} = O(n^{-3}), \quad \dot{\hat{w}}_{ln} = O(n^{-3}), \quad n \rightarrow \infty. \quad (22)$$

Поскольку  $\sigma_n = O(n^{-1}), n \rightarrow \infty$ , ряд (15) сходится абсолютно и равномерно в области  $[-H \leq z \leq 0] \times [0 \leq t \leq \infty]$ . Соответственно, скорость  $w$  является гладкой функцией  $z$  в любой момент  $t$ .

Для плавучести (17) ситуация несколько иная.

Если  $b_I|_{z=0, -H} = 0$ , то  $\hat{c}_{ln} = O(n^{-3}), n \rightarrow \infty$ , т.е. ряд (17) сходится абсолютно и равномерно и плавучесть, подобно  $w$ , является гладкой функцией  $z$  в любой момент  $t$ .

Однако в случае (7) имеем (см. Приложение):

$$\hat{c}_{ln} = O(n^{-1}), \quad n \rightarrow \infty. \quad (23)$$

При этом ряд (17а) сходится при любом фиксированном  $t$ , но, в отличие от (15), вообще говоря, не является абсолютно и равномерно сходящимся в  $[-H \leq z \leq 0] \times [0 \leq t \leq \infty]$ . Любая частичная сумма этого ряда имеет нулевое среднее (5) и не имеет “погранслошной” формы (9). Это означает, что нестационарный пограничный слой, развивающийся на больших временах у дна и поверхности, возникает как результат совместного действия низкочастотных волновых гармоник в разложении (17а) с большими вертикальными номерами,  $1 \ll n \leq \infty$ .

Похожая ситуация имеет место и для горизонтальных скоростей  $\hat{u}, \hat{v}$ . Производная собственной функции  $G_{nz} = O(n), n \rightarrow \infty$  (см. (20в)), поэтому в силу (22) ряды (19) сходятся абсолютно и равномерно в области  $[-H \leq z \leq 0] \times [0 \leq t \leq T_0]$ , где  $T_0$  – произвольное конечное время, но не в области  $[-H \leq z \leq 0] \times [0 \leq t \leq \infty]$ .

#### 4. НЕСТАЦИОНАРНЫЙ ПОГРАНИЧНЫЙ СЛОЙ

Представления типа (15), (17), (19) плохо приспособлены для описания быстро меняющихся в пространстве погранслошной структуры: вертикальный масштаб изменений  $n$ -ой частичной суммы ряда не может быть меньше  $H/n$  (см., например, (20в)) при любых временах. Здесь мы применяем метод, предложенный и использованный в работах [2, 3, 8] для изучения волн Россби в ограниченном бассейне. Рассмотрим, например, задачу для нормированной плавучести  $c$ , которая просто следует из (1):

$$\Delta c_{tt} + N^2 \Delta_2 c = 0, \quad c|_{z=0, -1} = c_I|_{z=0, -1}, \quad (24a-b)$$

$$(c, c_t)_{t=0} = (c_I, w_I);$$

уравнения (24) записаны в безразмерной форме с использованием масштабов длины  $H$  и времени  $1/N$ . Введем новую переменную

$$C = \frac{1}{t} \int_0^t c dt, \quad c = (tC)_t. \quad (25a, б)$$

Смысл  $C$  в том, что вклад быстро осциллирующей части поля  $c$  в  $C$  становится пренебрежимо малым на больших временах  $t \gg 1$ , как это просто следует из (17а). В дальнейшем мы будем называть поле  $c$  мгновенным, а поле  $C$  – осредненным; аналогично для других физических величин. В терминах  $C$  задача (24) принимает вид

$$\Delta C_{tt} + \frac{2}{t} \Delta C_t + \Delta_2 C = \frac{1}{t} \Delta w_I, \quad (26a, б)$$

$$C|_{z=0, -1} = c_I|_{z=0, -1};$$

начальные условия на больших временах предполагаются несущественными,  $N$  для простоты берется постоянным.

Рассмотрим задачу (26) на больших временах. Вне пограничного слоя вертикальный масштаб одного порядка с глубиной и решение здесь ищется в следующем виде:

$$C = \frac{1}{t} C_1(x, y, z) + \frac{1}{t^2} C_2(x, y, z) + \dots \quad (27)$$

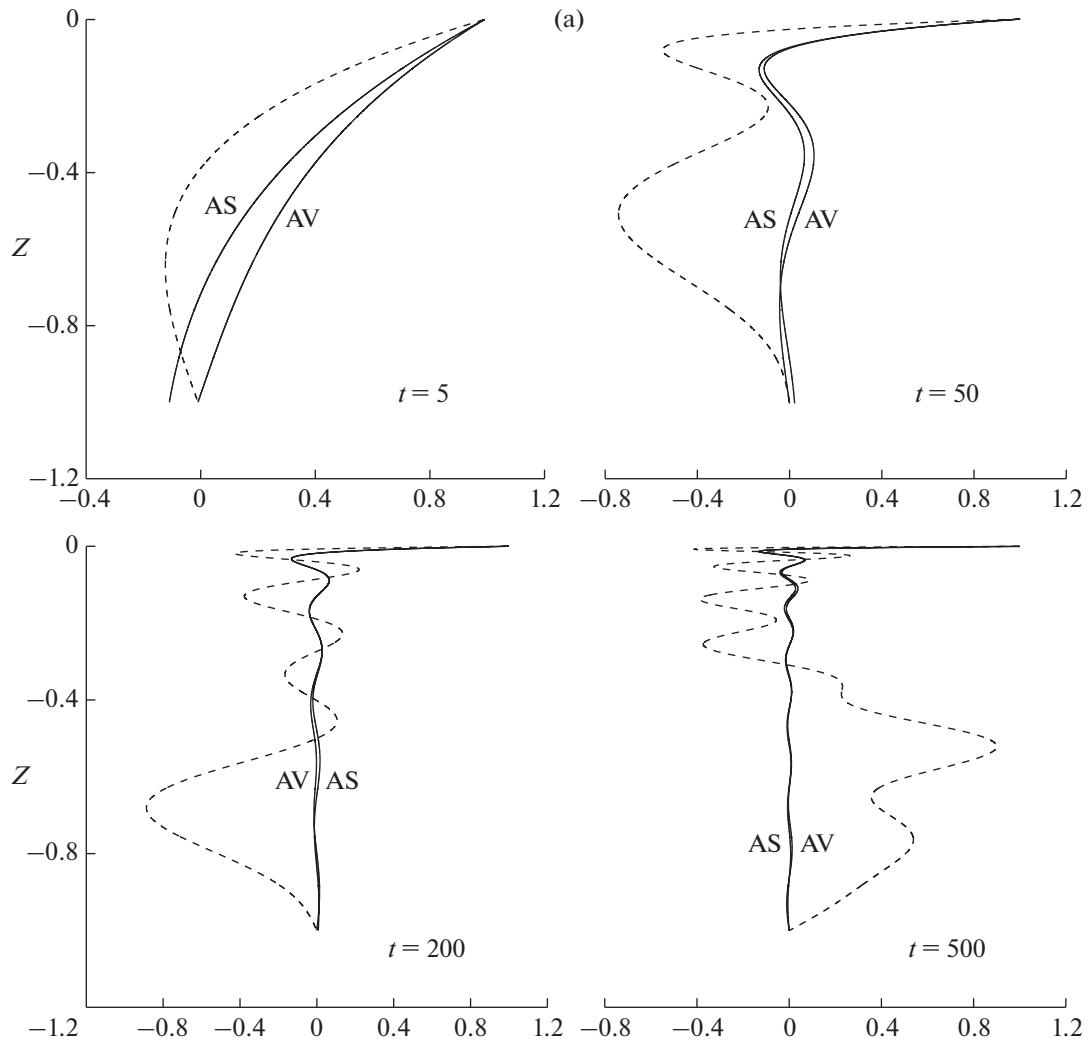
Подстановка (27) в (26а) дает:

$$\Delta_2 C_1 = \Delta w_I. \quad (28)$$

Вообще говоря,  $C_1/t$  не удовлетворяет граничным условиям (26б); эта невязка исправляется пограничными слоями в узких окрестностях у границ. Решение около  $z = 0$  ищется в виде следующего разложения:

$$C = D_0(x, y, \xi) + \frac{1}{t} D_1(x, y, \xi) + \dots, \quad \xi = -zt, \quad (29)$$

где  $\xi$  – погранслошная растянутая переменная.



**Рис. 2.** Вертикальные профили Фурье-амплитуд физических полей в различные моменты времени. Мгновенные профили изображены пунктиром, сплошными линиями – асимптотические (AS) и точные (AV) профили осредненных полей;  $N = \text{const}$ ,  $\kappa = 1$ . (а) – Плавучесть  $\hat{b}$ ; (б) – производная вертикальной скорости  $\hat{w}_z$ ; (в) – вертикальная скорость  $\hat{w}$ .

В нулевом порядке получаем уравнение

$$\xi^2 D_0^{(4)} + 6\xi D_0^{(3)} + 6D_0'' + \Delta_2 D_0 = 0, \quad (30)$$

где верхние индексы обозначают дифференцирование по  $\xi$ . Функция  $D_0$  должна удовлетворять граничным условиям

$$D_0|_{\xi=0} = c_I|_{z=0}; \quad D_0 \rightarrow 0, \quad \xi \rightarrow \infty. \quad (31a, б)$$

Соответствующие уравнения для Фурье-амплитуды  $\hat{D}_0$  записываются как:

$$\begin{aligned} \xi^2 \hat{D}_0^{(4)} + 6\xi \hat{D}_0^{(3)} + 6\hat{D}_0'' - \kappa^2 \hat{D}_0 &= 0; \\ \hat{D}_0|_{\xi=0} &= \hat{c}_I|_{z=0}; \quad \hat{D}_0 \rightarrow 0, \quad \xi \rightarrow \infty. \end{aligned} \quad (32a-в)$$

Решение задачи (32) имеет вид [4]:

$$\hat{D}_0 = \frac{\hat{c}_I|_{z=0}}{\sqrt{\kappa\xi}} J_1(2\sqrt{\kappa\xi}); \quad (33)$$

здесь и ниже  $J_n$  обозначает функцию Бесселя  $n$ -го порядка.

Нестационарные компоненты горизонтальных скоростей определяются вертикальной производной  $w_z$  (см., например, (18б)). Из (16), (25) находим:

$$W_z = \frac{1}{t} \int_0^t w_z dt = C_{zt} + \frac{1}{t} C_z - \frac{c_{Iz}}{t}, \quad (34)$$

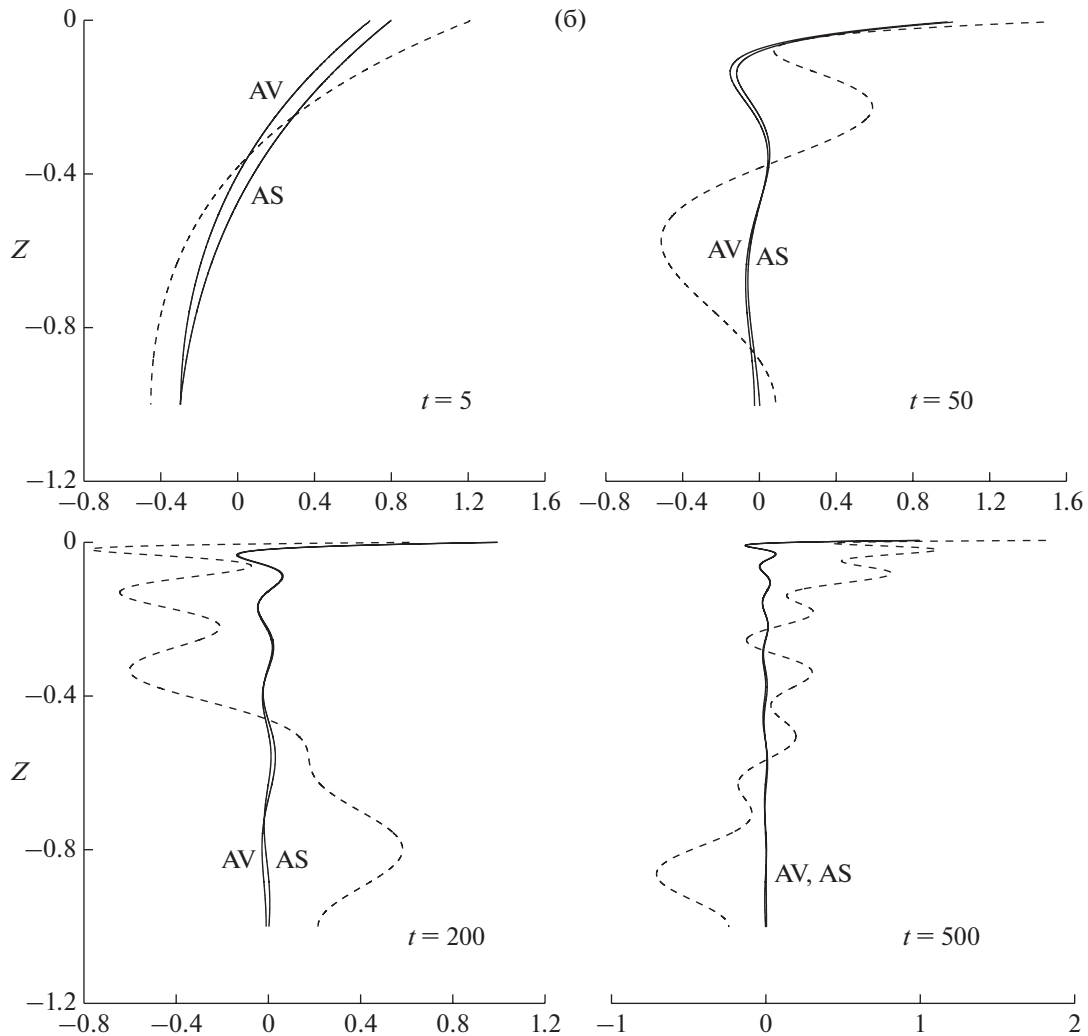


Рис. 2. (Продолжение.)

откуда с учетом (29), (33) следует, что амплитуда Фурье функции (34) с точностью до малых равна

$$\hat{W}_z = \frac{\kappa \hat{c}_I|_{z=0}}{\sqrt{\kappa \xi}} J_1(2\sqrt{\kappa \xi}) - \frac{\hat{c}_{Iz}}{t}. \quad (35)$$

Пограничный слой у дна  $z = -H$  анализируется таким же образом.

### 5. СРАВНЕНИЕ АСИМПТОТИЧЕСКИХ И ТОЧНЫХ РЕШЕНИЙ

Для подтверждения справедливости асимптотик (33), (35) и оценки скорости выхода решения на асимптотический режим были проведены численные эксперименты с начальными условиями:

$$u_I = v_I = 0, \quad b_I = \exp[i(kx + ly)](z + 1). \quad (36)$$

Условия (36) записаны для системы (1), (2), представленной в безразмерном виде с использованием масштабов времени  $1/N_0$ , длины  $H$ , скоро-

сти  $U$ , плавучести  $N_0 U$ , и давления  $HUN_0$ . Очевидно, условия (36) описывают отдельную Фурьегармонику по горизонтальным координатам. Соответственно, решение для  $w, b$  ищется в виде:

$$\begin{aligned} w &= \hat{w}(z, t) \exp[i(kx + ly)], \\ b &= \hat{b}(z, t) \exp[i(kx + ly)]. \end{aligned} \quad (37a, б)$$

В случае постоянного  $N$  функция  $\hat{w}$  является решением следующей задачи (ср. (13)):

$$\begin{aligned} (\hat{w}_{zz} - \kappa^2 \hat{w})_{tt} - \kappa^2 \hat{w} &= 0, \quad \hat{w}|_{z=0,-1} = 0, \\ (\hat{w}, \hat{w}_t)_{t=0} &= (\hat{w}_I, \hat{w}_I), \end{aligned} \quad (38a-в)$$

$$\hat{w}_I = 0, \quad \hat{w}_I = \frac{\text{sh}[\kappa(z+1)]}{\text{sh} \kappa} - (z+1). \quad (38г, д)$$

Поскольку плотность обращается в нуль на дне (при  $z = -1$ ), пограничный слой существует только у поверхности  $z = 0$ .

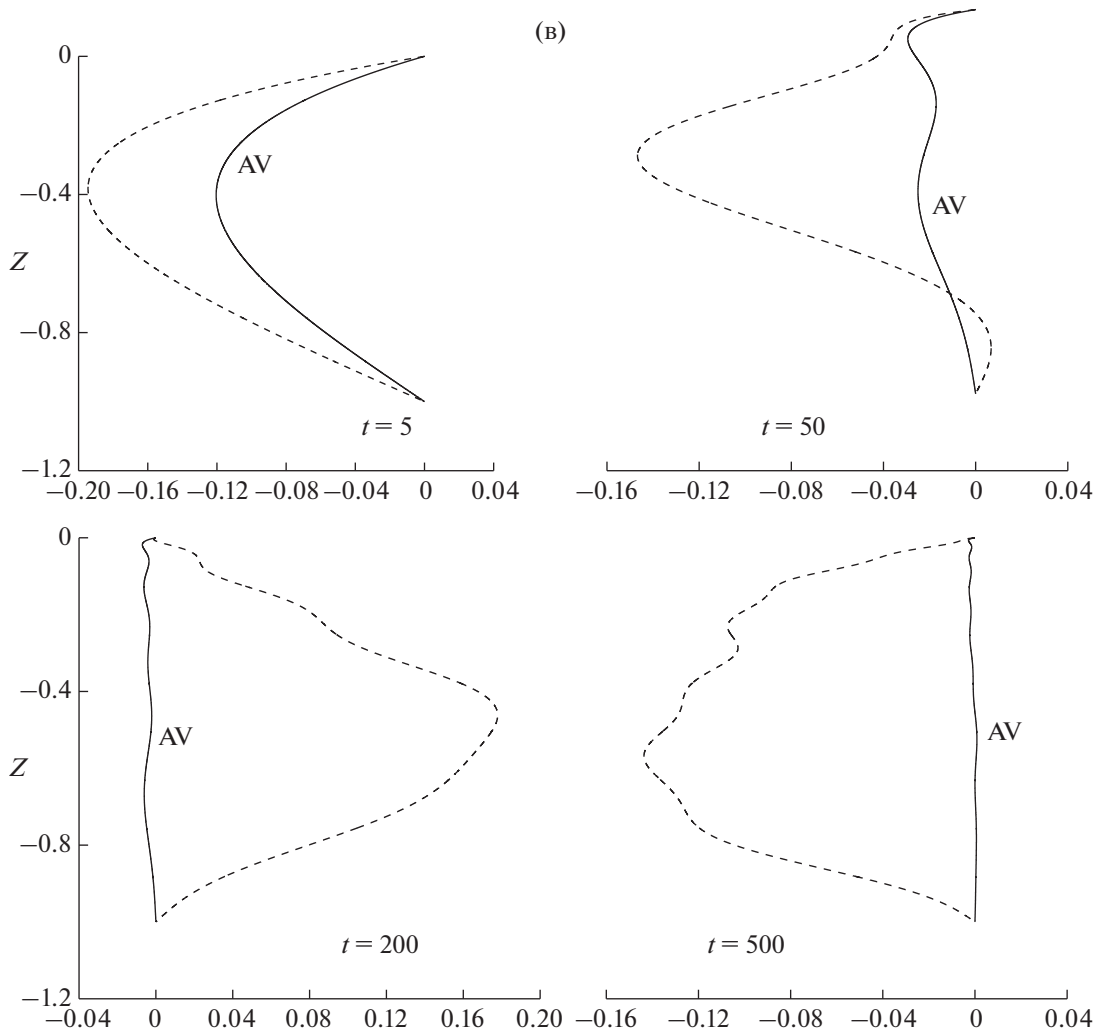


Рис. 2. (Окончание.)

Представляя  $\hat{w}_I$  в виде ряда

$$\hat{w}_I = \sum_{n=1}^{\infty} \hat{w}_{In} \sin n\pi z, \quad \hat{w}_{In} = \frac{2\sigma_n^2}{n\pi}, \quad (39a, б, в)$$

$$\sigma_n = \frac{\kappa}{\sqrt{\kappa^2 + n^2\pi^2}},$$

находим из (15) соответствующее разложение для  $\hat{w}$ :

$$\hat{w} = \sum_{n=1}^{\infty} \frac{2\sigma_n}{n\pi} \sin \sigma_n t \sin n\pi z. \quad (40)$$

Поскольку  $\sigma_n/n \sim n^{-2}, n \rightarrow \infty$ , ряд (40) можно дифференцировать по  $z$ , и для производной  $\hat{w}_z$ , определяющей горизонтальные скорости, имеем:

$$\hat{w}_z = 2 \sum_{n=1}^{\infty} \sigma_n \sin \sigma_n t \cos n\pi z. \quad (41)$$

Решение для  $\hat{b}$  находится из (16) и (40):

$$\hat{b} = z + 1 + \sum_{n=1}^{\infty} \frac{2}{n\pi} (1 - \cos \sigma_n t) \sin n\pi z. \quad (42)$$

Используя (41), (42), мы можем определить осредненные поля  $\hat{C}, \hat{W}_z$ :

$$\hat{W}_z = \frac{1}{t} \int_0^t \hat{w}_z dt = \frac{2}{t} \sum_{n=1}^{\infty} (1 - \cos \sigma_n t) \cos n\pi z, \quad (43)$$

$$\hat{C} = \frac{1}{t} \int_0^t \hat{b} dt = z + 1 + \sum_{n=1}^{\infty} \frac{2}{n\pi} \left( 1 - \frac{\sin \sigma_n t}{\sigma_n t} \right) \sin n\pi z. \quad (44)$$

Цель численных экспериментов – сравнить точные осредненные поля (43), (44) с их асимптотическими представлениями (33), (35) и поведением мгновенных полей (40)–(42). Результаты расчетов для  $\kappa = 1$  в различные моменты времени представлены на рис. 2. Пунктиром изображены

профили мгновенных полей  $\hat{c}$ ,  $\hat{w}_z$ , сплошными линиями – асимптотические (AS) и точные (AV) профили осредненных полей  $\hat{C}$ ,  $\hat{W}_z$ . Рисунки демонстрируют, что асимптотики (33), (35) неплохо описывают точные поля уже при  $t = 5$ , мало отличаются от них при  $t = 50$ , и практически неотличимы от точных осредненных полей при  $t = 200$  и далее. Видно, что осредненные поля действительно имеют погранслоиную структуру, все сильнее поджимаясь к верхней границе с течением времени и стремясь к нулю внутри области в соответствии с рассмотренным выше асимптотическим решением. Этот процесс сопровождается сильным ростом вертикальных градиентов плавучести и горизонтальной скорости ( $\hat{u}, \hat{v} \sim \hat{w}_z$ ) вблизи поверхности. Мгновенные профили со временем не затухают и становятся все более и более изрезанными, причем максимальные вертикальные градиенты (еще более резкие, чем в осредненных полях) развиваются в окрестности верхней границы. Для сравнения на рис. 2в приведены мгновенные и осредненные профили вертикальной скорости (40), в которых элементы погранслоиную структуры практически отсутствуют.

## 6. ОБСУЖДЕНИЕ РЕЗУЛЬТАТОВ

Мы показали, что при линейном свободном развитии достаточно общих начальных полей в стратифицированном невращающемся слое жидкости на больших временах у поверхности и/или дна возникают узкие пограничные слои. При  $t \rightarrow \infty$  толщина такого погранслоя стремится к нулю, а вертикальные градиенты плавучести и горизонтальной скорости – к бесконечности. В свою очередь, большие вертикальные градиенты горизонтальных скоростей могут приводить к сильному перемешиванию и неустойчивости у поверхности и/или дна.

Для описания этих структур мы применили специальные переменные, впервые введенные в [2, 3] для описания вынужденных волн Россби – осредненные по времени поля. Сопоставляя асимптотические решения на больших временах с точными разложениями по волновым модам, мы показали, что каждый такой пограничный слой состоит из бесконечного числа мод внутренних волн с большими вертикальными номерами  $n \gg 1$ . Именно поэтому мы назвали эти пограничные слои волновыми пограничными слоями.

Волновые пограничные слои в этой и других работах [2, 3, 8, 10] возникают благодаря существованию предельной точки в частотном спектре, когда частота волны стремится к конечному пределу при стремлении волнового числа к бесконечности. В нашем случае предельная частота равна нулю, а под волновым числом подразумевается вертикальное волновое число (горизонталь-

ное волновое число фиксировано). Ключевой факт состоит в том, что фазовая и групповая скорости волн с большими волновыми числами здесь имеют разные знаки (похоже, это типичная ситуация в присутствии предельной точки). Можно сказать, что граница, колеблющаяся с предельной частотой, порождает очень короткие волны с фазовой скоростью, направленной от границы, и групповой скоростью, направленной к границе. Такие волновые пакеты не могут убежать далеко от границы и с течением времени формируют пограничный слой.

Аналитическая часть работы (разделы 1–4) выполнялась при поддержке РФФ (проект № 14-50-00095), численные эксперименты (раздел 5) – при поддержке РФФИ (проект № 14-05-00070-а).

## ПРИЛОЖЕНИЕ

Для определения начального поля  $\dot{w}_I$  через  $b_I$  выразим сначала  $p_I$  через  $b_I$  из уравнений

$$\Delta p_I = -b_{Iz}, \quad p_{Iz}|_{z=0,-1} = b_I|_{z=0,-1}, \quad (\text{П1а, б})$$

которые просто следуют из системы (1), записанной в безразмерном виде с масштабами, введенными в § 5. Зная  $p_I$ , находим  $\dot{w}_I$  из уравнения движения по вертикали в (1а):

$$\dot{w}_I = -p_{Iz} - b_I. \quad (\text{П2})$$

В случае  $b_I$ , задаваемой (36), из (П1) находим:

$$p_I = \left[ \frac{1}{\kappa^2} - \frac{\text{ch}[\kappa(z+1)]}{\kappa \text{sh} \kappa} \right] \exp[i(kx + ly)]. \quad (\text{П3})$$

Подставляя (П3) и (36) в (П2), приходим к (38д).

Оценка (23) получается интегрированием по частям. При  $N = \text{const}$  имеем:

$$\begin{aligned} \hat{c}_{In} &= \sqrt{\frac{2}{H}} \int_{-H}^0 \hat{c}_I \sin(n\pi z/H) dz = \\ &= -\frac{\sqrt{2H}}{n\pi} \left[ \hat{c}_I|_{z=0} - (-1)^n \hat{c}_I|_{z=-H} \right] + O(n^{-2}). \end{aligned} \quad (\text{П4})$$

При  $N \neq \text{const}$  эта оценка также справедлива; чтобы показать это, необходимо использовать асимптотики величин  $G_n$ ,  $\lambda_n$  для больших  $n$  (см., например, [6]).

## СПИСОК ЛИТЕРАТУРЫ

1. Гилл А. Динамика атмосферы и океана. Т. 2. М.: Мир, 1986. 415 с.
2. Ильин А.М. Об асимптотике решения одной краевой задачи // Матем. заметки. 1970. Т. 8. № 3. С. 273–284.
3. Ильин А.М. О поведении решения одной краевой задачи при  $t \rightarrow \infty$  // Матем. сборник. 1972. Т. 87(129). № 4. С. 529–553.

4. Камке Э. Справочник по обыкновенным дифференциальным уравнениям. М.: Наука, 1971. 576 с.
5. Миропольский Ю.З. Динамика внутренних гравитационных волн в океане. Л.: Гидрометеоиздат, 1981. 302 с.
6. Морс Ф.М., Фешбах Г. Методы теоретической физики. Т. 1. М.: Изд-во иностр. литературы, 1958, 931 с.
7. Anderson D.L.T., Gill A.E. Spin-up of a stratified ocean, with application to upwelling // Deep-Sea Res. 1975. V. 22. P. 583–596.
8. Kamenkovich V.M., Kamenkovich I.V. On the evolution of Rossby waves, generated by wind stress in a closed basin, incorporating total mass conservation // Dyn. Atm. Oceans. 1993. V. 18. P. 67–103.
9. Lighthill M.J. Dynamic response of the Indian ocean to onset of the southwest monsoon // Philos. Trans. R. Soc. London. Ser. A. 1969. V. 265. P. 45–92.
10. Reznik G.M. Linear dynamics of a stably- neutrally stratified ocean // J. Mar. Res. 2013. V. 71. № 4. P. 253–288.

## Wave Boundary Layers in Stratified Fluid near Surface and Bottom

G. M. Reznik

We study so-called wave boundary layers arising in a bounded stratified fluid at large times. Here the layer is a narrow domain near the surface and/or the bottom of fluid, characterized by sharp growing in time gradients of the buoyancy and horizontal velocity. The boundary layers arise as a result of a free linear wave evolution of initial fields if the initial surface and/or bottom buoyancy depends on the horizontal coordinates. An asymptotic solution describing the boundary layer at large times is presented and compared to exact solution; the asymptotic solution approximates the exact one fairly well even for not very large times.